

名古屋大学工学部

学生員 中村 幸

名古屋大学工学部

正員 有住 康則

名古屋大学工学部

正員 梶田 建夫

1 まえがき 近年、建築構造物、橋梁、および石油掘削施設等の海洋構造物において鋼管構造が多く用いられている。钢管構造では、直接钢管どうしを接合する場合が多く、その場合、接合部において応力集中が生じ、それが钢管構造物の耐力を決定する重要な因子となっている。钢管構造の耐力を増加させるためには、局部変形による接合部の応力集中を緩和させる必要があり、そのためには接合部に補強を施さなければならない。しかし、補強を施した钢管構造では、钢管自体の複雑さのうえに補強材が加わり、その力学的挙動に影響を与える幾何学的パラメータが数多く存在するため、補強を考慮した钢管構造の研究は、いまだ十分には行なわれていないようである。

本研究では、補強を施したX型钢管接合部について静的引張試験を行ない、その耐力を求めるとともに、有限要素法による解析を行ない、この結果に基づいて、それぞれの補強の効果や特徴について検討を行なった。

2 補強された钢管接合部の引張試験 钢管接合部の代表的な型式であるX型接合部について、3種類の最適と思われる補強型式の供試体および無補強供試体を用い、引張試験を行なった。無補強供試体（タイプN）の形状および主要寸法を図-1に示す。また、補強は無補強供試体にそれぞれ図-2に示すような型式で補強を行なった。なお、補強に用いた鋼材量は各型式ともすべて等しい。タイプBのリングによる補強は、主翼の曲げ剛性を高めるためのものであり、タイプAおよびCは主翼の曲げ剛性を高めるとともに、枝管の応力を伝達する目的でリブドによる補強を施した。また、タイプA、Cの補強リブの形状は枝管とリブの接合部で起こる応力集中を緩和させる目的で図のようにされた。素材はSTK41を用い、溶接はすべて手溶接を行ない、溶接面の仕上げは行なっていらない。

それぞれの供試体の荷重変位曲線を図-3に示す。変位は主翼の中央の点の半径方向の変位量である。なお、図中にそれぞれの供試体の破壊荷重を示す。図からも明らかのように、無補強のものに比べ補強のあるものは高い剛性を示している。特に、タイプAとしては、中央部に補強材を配置したのでかなり主翼の曲げ剛性を高めることができたと考えられる。

無補強供試体の基本的破壊形式は、主翼と枝管の接合部にき裂が発生し、それがしだいに進展して破壊に至っている。タイプBでは無補強供試体と同じ場所にき裂が発生し破壊している。またタイプAは、リブと枝管の接合部に応力集中が生じ、そこにき裂が発生して破壊している。一方タイプCでは、補強効果により接合部分の耐力が枝管のそれを上まわるため、枝管に破壊が生じた。破壊荷重が、補強を施したすべての型式において、無補強のものの破壊荷重の1.5倍程度になることからも明らかのように、補強を施すことによつて钢管構造の耐力をかなり増大させることが可能であると考えられる。

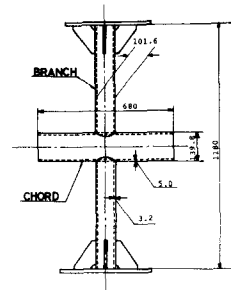


Fig. 1 SPECIMEN

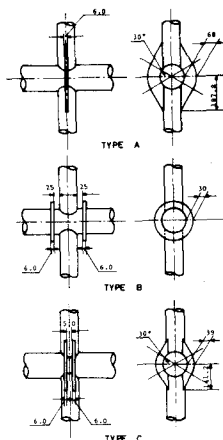


Fig. 2 DETAILS OF STIFFENED X-JOINTS

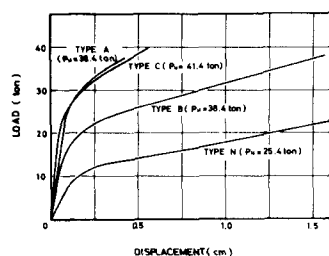


Fig. 3 LOAD-DISPLACEMENT RELATIONSHIPS

3 有限要素法による解析 補強を施した縫手構造は複雑な形状であり、その挙動は有限要素解析等の数値解析に正確さを得難い。本研究では8節点のアイソパラメトリックシェル要素を用いて有限要素解析を行なった。図-4に基本的な要素分割を示す。荷重2tonの場合は主管および枝管の表面のひずみ分布について、解析と実験結果の比較を図5～8に示す。枝管のひずみは輻軸方向のひずみであり、主管のひずみは管周方向のひずみである。これらの図からも明らかのように、解析結果はよく実験結果と一致しており、本解析はこのようない鋼管構造の変形、応力状態をよく把握できるものと思われる。各補強タイプの応力集中点は、無補強のものと補強タイプBのものは主管と枝管の接合部に存在し、タイプAとしては、リブと枝管の接合部先端にあり、実験におけるき裂発生の位置とよく対応している。主管と枝管の接合部のひずみ状態を図-9に示す。タイプAとCでは、この部分のひずみ分布はほぼ一様に近いものとなり、応力集中点は存在しない。き裂の生じ易い縫手部分に入きな応力集中が発生しないようなこれらの補強は十分に効果のあるものと判断できる。

4まとめ 本研究で行なったような補強を縫手に施すことによって、十分な耐力の向上を得ることができた。また、タイプA×Cのようないリブ補強をする場合には、応力集中点がリブと枝管の接合部先端に移ることに注意しなければならないことが明らかになった。

本研究で使用した有限要素解析により、複雑な形状の縫手の応力集中の解析が可能となり、実験による耐力の評価を合わせて行なうことにより、鋼管縫手の耐力の算定、補強の効果の判定をすることができると思われる。また、有限要素解析で補強材の寸法などをパラメータとして解析を行なうことにより、最適な補強の程度の推定も可能になるのではないかと思われる。

最後に、供試体の製作に当世船にぎ、Eアルス製作所、坂本孝氏に感謝の意を表します。

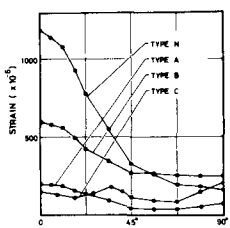


Fig. 9 STRAIN DISTRIBUTIONS
ON JOINTED LOCATION
(P=2ton)

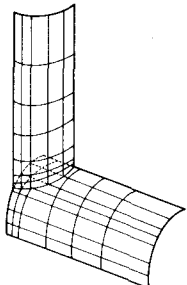


Fig. 4 FINITE ELEMENT MESH

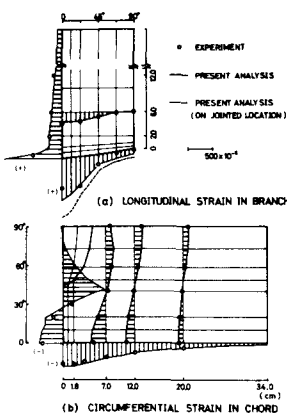


Fig. 5 STRAIN DISTRIBUTION
(TYPE N, P=2ton)

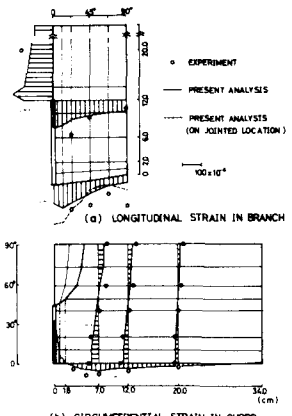


Fig. 6 STRAIN DISTRIBUTION
(TYPE A, P=2ton)

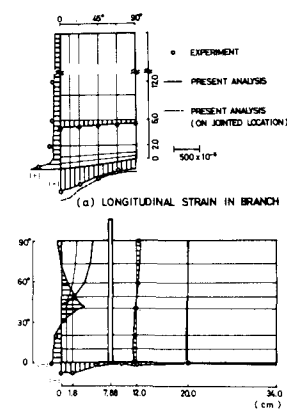


Fig. 7 STRAIN DISTRIBUTION
(TYPE B, P=2ton)

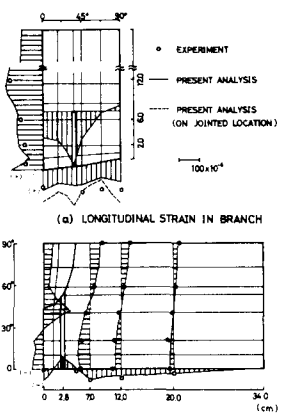


Fig. 8 STRAIN DISTRIBUTION
(TYPE C, P=2ton)